

بررسی اثرات ان-استیل سیستئین بر ارزیابی‌های عملکردی، بیوشیمیایی و فراساختار عصب سیاتیک لهشده در موش صحرائی

نویده میرزاخانی^۱، امیرعباس فرشید^۲، اسماعیل تمدن‌فرد^۳، مهدی ایمانی^۴

تاریخ دریافت ۱۳۹۴/۱۱/۲۰ تاریخ پذیرش ۱۳۹۵/۰۱/۲۵

چکیده

پیش‌زمینه و هدف: سیستم استرس اکسیداتیو نقش بسیار مهمی در عملکرد اعصاب محیطی آسیب‌دیده ایفاء می‌نماید. در این مطالعه اثر ان-استیل سیستئین بر عملکرد، شاخص بیوشیمیایی و فوق ریزبینی عصب سیاتیک لهشده تجزیی بررسی شده است.

مواد و روش کار: تعداد ۶۰ سر موش صحرائی به ۵ گروه ۱۲ تایی تقسیم شدند. عصب سیاتیک چپ با استفاده از پنس خون‌بند کوچک برای مدت ۶۰ ثانیه له شد. تزریق داخل صفاقی ان-استیل سیستئین در مقدار ۱۰ و ۴۰ میلی‌گرم/کیلوگرم برای مدت ۱۵ روز متواتی انجام شد. بهبود عملکرد عصب سیاتیک با استفاده از شاخص عملکرد عصب سیاتیک ارزیابی شد. مقدار مالون دی‌آلدئید و فعالیت سوبر اکسید دیسموتاز در عصب سیاتیک اندازه‌گیری شد. مقاطع بافتی برای بررسی میکروسکوپ الکترونی تهیه شدند.

یافته‌ها: ان-استیل سیستئین سبب تسریع در بهبودی عملکردی عصب سیاتیک شد. مقدار افزایش بافتی مالون دی‌آلدئید و فعالیت کاهش‌یافته سوبر اکسید دیسموتاز در بافت عصب سیاتیک با ان-استیل سیستئین در مقایسه با اسکوپلاسم ناشی از لهشده‌گی عصب سیاتیک شد. نازک شدن غلاف میلین، توهم رفتگی غلاف میلین، تشکیل حباب (bleb formation) و تشکیل واکوئل در آکسپولاسم ناشی از لهشده‌گی عصب سیاتیک با ان-استیل سیستئین بهبود یافت.

بحث و نتیجه‌گیری: نتایج مطالعه حاضر نشان دادند که ان-استیل سیستئین موجب تسریع بهبود عملکرد عصب سیاتیک لهشده گردید. در این عملکرد، ممکن است خاصیت آنتی‌اکسیدانتی آن دخالت داشته باشد. همچنین، ان-استیل سیستئین اثر محافظت عصبی را با کاهش تعییرات غلاف میلین و آکسپولاسم ایجاد نمود.

کلیدواژه‌ها: ان-استیل سیستئین، عصب سیاتیک، استرس اکسیداتیو، موش صحرائی

مجله پژوهشی ارومیه، دوره بیست و هفتم، شماره چهارم، ص ۲۷۶-۲۶۶، تیر ۱۳۹۵

آدرس مکاتبه: ارومیه، دانشگاه ارومیه، دانشکده دامپزشکی، گروه پاتوبیولوژی، صندوق پستی: ۱۱۷۷-۵۷۱۵۳-۰۵۰۸، تلفن:

Email: aa.farshid@urmia.ac.ir

نظر گرفتن علت آسیب، ترمیم ناقص بافت عصبی یا ریزراسیون غیرعادی عصب عملکرد طبیعی عضو مربوط را مختل می‌کند^(۵). ان-استیل سیستئین فرم استیله اسیدآمینه ال-سیستئین می‌باشد که در بدن به متاپولیت‌هایی تبدیل می‌گردد که قادر به سنتز گلوتاتیون، پیش بردن سمزدایی بوده و همچنین دارای عملکرد مستقیم به عنوان از بین برنده رادیکال‌های آزاد می‌باشد^(۶). از این ماده در موارد درمانی مختلف از قبیل سمزدایی استامینوفن و همچنین درمان برونشیت، اعتیاد و شیزووفرنی استفاده می‌گردد

مقدمه
اعصاب محیطی متشکل از رشته‌های عصبی حرکتی، حسی و خودمحختار است که توسط این اعصاب انتقال اطلاعات مابین سیستم عصبی مرکزی و سایر نواحی بدن صورت می‌پذیرد^(۱). آسیب اعصاب محیطی به صورت کوتاه‌مدت و یا درازمدت به کیفیت زندگی فرد لطمه وارد می‌کند^(۲). آسیب اعصاب محیطی در اغلب موارد ناشی از تروما می‌باشد^(۳). به دنبال ایجاد آسیب اعصاب محیطی، دژنراسیون والرین در قسمت خلفی محل روی می‌دهد^(۴). بدون در

^۱ دستیار تخصصی آسیب شناسی دامپزشکی، دانشکده دامپزشکی، دانشگاه ارومیه

^۲ استاد آسیب شناسی، دانشکده دامپزشکی، دانشگاه ارومیه (نویسنده مسئول)

^۳ استاد فیزیولوژی، دانشکده دامپزشکی، دانشگاه ارومیه

^۴ استادیار بیوشیمی، دانشکده دامپزشکی، دانشگاه ارومیه

خریداری شده شد. مواد شیمیایی مورداستفاده برای اندازه‌گیری بیوشیمیایی از شرکت مرک (Darmstadt, Germany) خریداری شدند.

گروههای درمانی:

۶۰ سر موش صحرایی به ۵ گروه ۱۲ تایی به شرح زیر تقسیم شدند:

گروه یک: در این گروه هیچ مداخله جراحی صورت نگرفت ولی روزانه نرمال سالین را به روش تزریق داخل صفاقی دریافت نمودند و به عنوان گروه کنترل (intact) در نظر گرفته شد.

گروه دو: در این گروه جراحی انجام شد و عصب سیاتیک در معرض دید قرار گرفت ولی لهشگی بر روی آن انجام نشد و بعد از جراحی، حیوانات روزانه نرمال سالین را به صورت داخل صفاقی دریافت نمودند. این گروه به عنوان گروه شاهد (sham) در نظر گرفته شد.

گروه سه: در این گروه آسیب عصب سیاتیک به صورت لهشگی القا شد و حیوانات به صورت روزانه نرمال سالین را از راه داخل صفاقی دریافت نمودند. این گروه به عنوان گروه لهشگی (crush) در نظر گرفته شد.

گروه چهار: در این گروه بعد از له کردن عصب سیاتیک، حیوانات روزانه ان-استیل سیستئین را در مقدار ۱۰ میلی‌گرم به کیلوگرم وزن بدن به طریق داخل صفاقی دریافت نمودند.

گروه پنجم: در این گروه بعد از له کردن عصب سیاتیک، حیوانات روزانه ان-استیل سیستئین را در مقدار ۴۰ میلی‌گرم به کیلوگرم وزن بدن به طریق داخل صفاقی دریافت نمودند.

سالین نرمال و ان-استیل سیستئین به میزان یک میلی‌لیتر به از یک کیلوگرم وزن بدن و به مدت ۱۵ روز پیاپی بعد از القاء آسیب عصب سیاتیک به حیوانات تزریق شدند. مقادیر استفاده شده ۱۰ و ۴۰ میلی‌گرم به کیلوگرم وزن بدن) از ان-استیل سیستئین بر اساس

مطالعات محققین دیگر می‌باشد (۱۴، ۱۵). به دلیل یکسان نمودن محل نمونه برداری از قسمت خلفی ناحیه کراش برای ارزیابی الکترومیکروسکوپیک و همچنین تهیه نمونه‌های با وزن تقریباً یکسان برای آزمایش‌های بیوشیمیایی، در روز ۲۸ بعد از آسیب، از هر گروه، شش سرموش صحرایی به صورت تصادفی برای آزمایش‌های بیوشیمیایی انتخاب شدند و شش حیوان دیگر برای ارزیابی الکترومیکروسکوپیک مورداستفاده قرار گرفتند.

روش جراحی له کردن عصب سیاتیک:

پس از اعمال پرهیز غذایی موش‌ها با تزریق داخل صفاقی مخلوط کتامین (۸۰ میلی‌گرم به کیلوگرم وزن بدن) و زایلazin

³ SOD: superoxide dismutase

⁴ TEM: transmission electron microscopy

(۷). این اسیدآمینه موجب بهبودی اختلال عملکرد حسی متعاقب قطع عصب سیاتیک در موش صحرایی و همچنین جلوگیری از دژنراسیون و پیش برداز رژنراسیون عصب صورتی در خرگوش می‌شود (۸، ۹).

استرس اکسیداتیو به عنوان یکی از عوامل اصلی آسیب‌زننده به عصب به دنبال ایجاد جراحت در اعصاب شناخته شده است و همچنین نشان داده شده است که مقادیر بالای رادیکال‌های آزاد بر روی بهبود عملکردی به دنبال القاء آسیب به عصب مؤثرمی باشد (۱۰، ۱۱). درمان با آنتی‌اکسیدانت سبب بهبود عملکردی، کاهش درد نوروباتیک، تقویت رژنراسیون فیبرهای عصبی و نهایتاً کاهش استرس اکسیداتیو در موش‌های صحرایی دچار آسیب لهشگی در عصب سیاتیک شده است (۱۰، ۱۲، ۱۳).

تابه‌حال از اثran-استیل سیستئین در جلوگیری از دژنراسیون و یا پیش برداز رژنراسیون در مدل عصب سیاتیک لهشده در موش Karlidag صحرایی گزارشی ارائه نشده است. با وجود اینکه در مطالعه و همکاران (۹) اثran-استیل سیستئین بر تغییرات ساختاری و فوق ساختاری عصب صورتی قطع و آناستوموز شده بررسی شده است ولی عملکرد عصب گزارش نشده است. هم‌جین، در مطالعه West و همکاران (۸) فقط بازگشت زنده‌مانی نورون‌های حسی گزارش شده است. لذا هدف از انجام این مطالعه بررسی اثرات محافظت عصبیان-استیل سیستئین بر مدل حیوانی تجربی عصب سیاتیک لهشده می‌باشد. برای ارزیابی بهبود عملکردی عصب سیاتیک لهشده از آزمون شاخص عملکردی عصب سیاتیک^۱ استفاده شد. مقدار مالون دی‌آلدئید^۲ و فعالیت سوپر اکسید دسموتاز^۳ در ناحیه لهشده عصب سیاتیک نیز اندازه‌گیری شد. جهت بررسی و ارزیابی فوق ریزبینی آکسون‌ها و ساختار غلاف میلین از میکروسکوپ الکترونی گذاره^۴ استفاده گردید.

مواد و روش کار

حیوانات:

در این مطالعه از موش صحرایی نر بالغ سالم از نژاد ویستار در محدوده وزنی ۲۵۰-۲۲۰ استفاده شد. حیوانات در قفس‌های پلی‌اتیلنی با دسترسی به غذا و آب به میزان کافی و دمای تحت کنترل مناسب (۲۳-۲۲) و چرخه روشنایی - تاریکی ۱۲ ساعت نگهداری شدند.

مواد شیمیایی:

ان-استیل سیستئین از شرکت سیگما-آلدریچ (Sigma-Aldrich, Chemical Co., St. Louis, MO, USA

¹ SFI: sciatic functional index

² MDA: malondialdehyde

NIT). با استفاده از این داده‌ها SFI با استفاده از فرمول Amniattalab SFI = $-38.3 [(EPL - NPL)/NPL] + 109.5 [(ETS - NTS)/NTS] + 13.3 [(EIT - NIT)/NIT]$ در این مطالعه SFI برابر ۱۰۰ نشان‌دهنده اختلال قبل ملاحظه و نزدیک به صفر به عنوان عملکرد نرمال در نظر گرفته شد.

ارزیابی بیوشیمیابی:

در روز ۲۸ بعد از له کردن عصب سیاتیک، تعداد شش سر موش صحرایی با روش گردن زدن آسان کشی شدند و قسمت خلف ضایعه عصب سیاتیک برداشته شد و پس از اندازه‌گیری وزن آن در محلول سالین بسیار سرد شستشو داده شد. برای هموژن کردن عصب سیاتیک آن را به تکه‌های کوچک‌تر تقسیم کرده و سپس در داخل دستگاه هموژنایزر شیشه‌ای در دمای چهار درجه سانتی‌گراد و درون دو میلی‌لیتر محلول سالین هموژن شد. مایع هموژن شده به دست آمده از درون فیلتر سلولزی گفراشده شد تا ناخالصی‌های آن جدا شود و سپس برای انجام آنالیزهای بیوشیمیابی به دو قسمت مساوی تقسیم شد و مورد استفاده قرار گرفت. میزان آنزیم پراکسیداز چربی از طریق اندازه‌گیری سطوح MDA با استفاده از طیفسنجی (Pharmacia, Pharmacia LKB, Novaspec II, England) در نمونه بافت عصب سیاتیک هموژن شده و با روش ارائه شده توسط Varija و همکاران (۲۲) اندازه‌گیری شد. برای اندازه‌گیری سطوح MDA در بافت عصب سیاتیک $0.3 \text{ میلی‌لیتر از اسیدتری کلرواستیک (TCA) و } 0.067 \text{ میلی‌لیتر از محلول آبی / ۰.۶۷ \text{ درصد } 0\text{-اسیدتری باربیتورات (TBA) به } 0.15 \text{ میلی‌لیتر ماده رویی حاصله از سانتریفیوژ کردن نمونه اضافه گشت. سپس ترکیب به دست آمده به مدت ۶۰ دقیقه در دمای } ۱۰۰ \text{ درجه سانتی‌گراد انکوبه شد. بعد از سرد کردن نمونه بر روی قالب یخ نمونه‌ها به مدت ۱۰ دقیقه با دور } ۴۰۰۰ \text{ سانتریفیوژ شدند. بعد از پایان سانتریفیوژ میزان جذب MDA لایه ارگانیک در طول موج } ۵۳۵ \text{ نانومتر اندازه‌گیری شد. موجود در لایه رویی بعد از انجام سانتریفیوژ می‌تواند با TBA تازه تهیه شده واکنش داده و یک کمپلکس رنگی به وجود آورد که بالاترین میزان جذب نوری آن در طول موج } ۵۳۵ \text{ نانومتر می‌باشد. میزان MDA بر حسب نانومول در گرم بافت با استفاده از منحنی استاندارد رسم شده (که توسط } ۱ \text{ و } ۱ \text{ و } ۳ \text{ - تتراتوکسی پروپیان تهیه شده است) موردمحاسبه قرار گرفت.$

میزان فعالیت آنزیم سوپر اکسید دسموتاز (SOD) با روشی که قبلًا توسط Sayan و همکاران (۲۳) توصیف شده است اندازه‌گیری شد. اصول انجام این روش بر پایه ممانعت از احیاء نیترو بلو ترازوکسی (NBT: nitroblue tetrazolium) توسط سیستم

(هشت میلی‌گرم به کیلوگرم وزن بدن) بی‌هوش شدند. موهای قسمت مورد جراحی از ناحیه پایین برآمدگی هاشن تا بالای مفصل زانو تراشیده و با بتادین ضدغوفنی و سپسشن گذاری شد. یک شکاف دو سانتی‌متری در آن ناحیه ایجاد شد و برای دیده شدن عصب سیاتیک عضلات چهار سر ران برش داده شد و توسط قلاب‌هایی کنار زده شد. سپس عصب به‌آرامی از بافت‌های اطراف جدا شد و در فاصله یک سانتی‌متری بالای محل سه‌شاخه شدن توسط پنس کوچک هموستاتیک جراحی که آرواره‌های آن با لوله پلاستیکی پوشیده و صاف شده بودند، به مدت ۶۰ ثانیه تحت‌فشار قرار گرفتند. ناحیه لهشده تقریباً به وسعت $۳ \text{ تا } ۴ \text{ میلی‌متر} \times ۴ \text{ میلی‌متر}$ مربع بود و به صورت یکدست به مدت چندین دقیقه بعد از القاء آسیب به صورت شفاف دیده شد (۱۰، ۱۶). سپس عضلات ناحیه توسط بخیه سراسری توسط نخ گات کوت شماره چهار- صفر و پوست توسط بخیه‌های تکی با نخ سیلک شماره سه - صفر بخیه زده شدند. چون مدل آسیب ناشی از له کردن عصب سیاتیک موش صحرایی به صورت گستردۀ برای بررسی مکانیسم‌های نوروپاتی‌های محیطی از قبیل دژنراسیون والرین، انتقال جریان عصبی، درد نوروپاتیک، بهبود عملکردی و استرس اکسیداتیو مورداستفاده قرار گرفته است (۱۰، ۱۶-۲۰). در مطالعه حاضر نیز از این مدل حیوانی استفاده شد.

شاخص عملکردی عصب سیاتیک (SFI):

ارزیابی شاخص عملکردی عصب سیاتیک سه روز قبل از انجام جراحی و همچنین در روزهای ۷، ۱۴، ۲۱، ۲۸ بعد از جراحی به عمل آمد. حیوانات به‌آرامی با حوله مقید شده و پاهای خلفی آن‌ها روی سطح مرطوب پد استامپ آبی‌رنگ فشار داده شد. بلافضله به موش‌ها اجازه داده شد تا در مسیر محدود شده به عرض هفت و نیم سانتی‌متر و طول ۶۰ سانتی‌متر که توسط سایه بان تیره‌ای پوشانده شده بود راه بروند و بدین ترتیب ردپاهایشان روی کاغذ قرار داده شده در کف راهرو که دقیقاً با توجه به ابعاد راهرو بربیده شده بود مشاهده گردید (۱۰، ۱۶). به دنبال آن اندازه‌گیری‌های مربوط به ردپاهای به عمل آمد که عبارت بودند از: ۱- فاصله پاشنه تا انگشت سوم پنجه (PL: paw lenght) ۲- فاصله انگشت اول تا انگشت پنجم پنجه (TS: toe spread) و ۳- فاصله انگشت دوم تا انگشت چهارم پنجه (ITS: intermediate toe spread). تمامی این اندازه‌گیری‌ها بر روی اندام‌های تحت آزمایش (که تحت عمل لهشده‌گیری عصب قرار گرفته بودند) E: experimental و اندام‌های سالم (N: normal) انجام گرفت. سه فاکتور تشکیل‌دهنده SFI به ترتیب زیر اندازه‌گیری شد: ۱- فاکتور طول رد پا (PLF) = EPL (PL) - ۲- فاکتور میزان بازشدگی پنجه (TSF) = NPL - NPL (TSF) - ۳- فاکتور فاصله بین انگشت دوم و چهارم (ITF) = NST/NST (ITF) و

یافته‌ها

همان طور که در نمودار شماره یک مشاهده می‌کنید امتیاز SFI به دست آمده از گروه‌های سالم و شم بین منفی پنج و مثبت پنج به دست آمد. امتیاز SFI در گروه کراش یک کاهش چشمگیر را در روز هفت بعد از القاء آسیب (نزدیک ۱۰۰-) نشان داد که با گذشت زمان تا روز ۲۸ بعد از القاء آسیب، این مقدار تا ۵۰- افزایش تدریجی داشت. ان-استیل سیستئین در مقدار ۱۰ میلی‌گرم/کیلوگرم تغییر قابل ملاحظه‌ای را در طول دوره آزمایش بر روی امتیاز SFI ایجاد نکرد، در حالی که همین ماده در مقدار ۴۰ میلی‌گرم/کیلوگرم امتیاز SFI را به طور معنی دار ($p < 0.05$) بهبود بخشید. اثر بهبود بخشی ان-استیل سیستئین (۴۰ میلی‌گرم/کیلوگرم) بر امتیاز SFI تا حدی بود که در روز ۲۸ پس از لهش‌گی به امتیاز SFI گروه‌های سالم و شم نزدیک شد (نمودار ۱).

مقدار MDA بافت عصب سیاتیک در گروه‌های سالم و شم به ترتیب 0.14 ± 0.01 و 0.19 ± 0.01 نانومول در میلی‌گرم بافت به دست آمد. با توجه به این داده‌ها ان-استیل سیستئین با مقدار ۱۰ میلی‌گرم/کیلوگرم نتوانست کاهش قابل توجهی در مقدار MDA عصب سیاتیک ایجاد نماید. این در حالی است که این ماده در مقدار ۴۰ میلی‌گرم/کیلوگرم مقدار MDA را به طور معناداری ($p < 0.05$) بهبود بخشید و تا نزدیک محدوده طبیعی رساند (نمودار ۲).

فعالیت سوپر اکسید دسموتاز (SOD) در گروه‌های سالم و شم به ترتیب $4/4 \pm 4/7$ و $8/5 \pm 3/4$ نانومول بر میلی‌گرم پروتئین به دست آمد. مقدار ۱۰ میلی‌گرم/کیلوگرم ان-استیل سیستئین نتوانست تأثیر قابل ملاحظه‌ای بر فعالیت SOD در عصب سیاتیک ایجاد نماید، در حالی که در مقدار ۴۰ میلی‌گرم/کیلوگرم توانست فعالیت آنزیم SOD را به طور معناداری ($p < 0.05$) افزایش داد و تا نزدیک محدوده طبیعی رساند (نمودار ۳).

یافته‌های الکترومیکروسکوپی در تصویر یک نشان داده شده است. در گروه‌های سالم و شم غلاف میلین و آکسوبلاسم طبیعی قابل مشاهده است (شکل ۱-A). در گروه کراش، باقی مانده‌های میلین (شکل ۱-B1)، تشکیل حباب (bleb) به همراه تو هم رفتگی غلاف میلین (شکل ۱-B2) و شکل‌گیری واکوئل در آکسوبلاسم (شکل ۱-B3) مشاهده شد. درمان با ان-استیل سیستئین (۱۰ میلی‌گرم/کیلوگرم) تغییرات آکسوبلاسم و غلاف میلین ایجاد شده در اثر کراش را تغییر نداد (شکل ۱-C)، درحالی که در مقدار ۴۰ میلی‌گرم/کیلوگرم، ان-استیل سیستئین تغییرات ایجاد شده ناشی از کراش عصب سیاتیک را بهبود بخشید (شکل ۱-D).

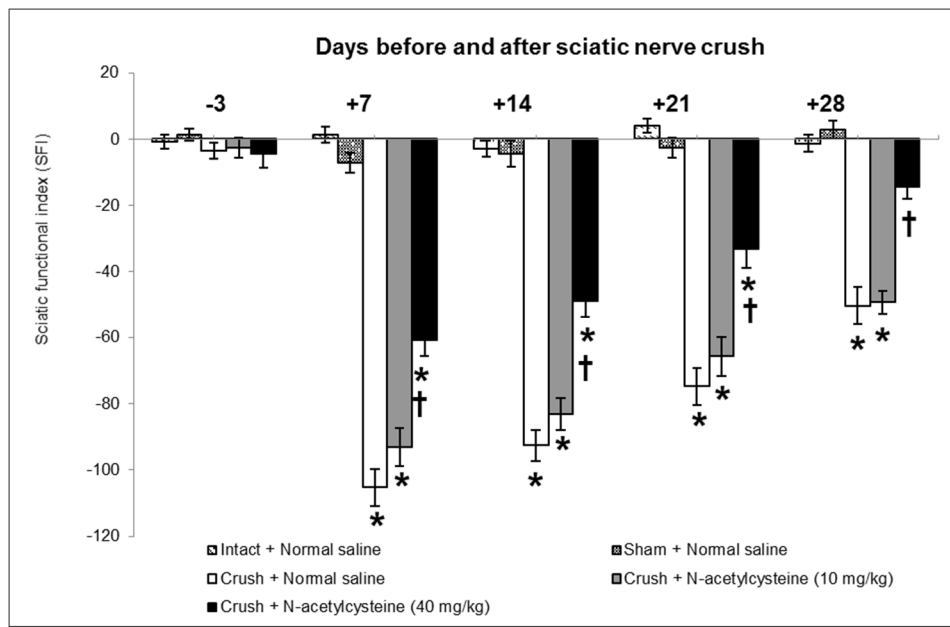
گزانتین-گزانتین اکسیداز که به عنوان یک مولد سوپر اکسید می‌باشد، قرار دارد. در ابتدا یک میلی‌لیتر از مخلوط حجمی سه به پنج اتانول به کلروفرم به حجم مشابه از نمونه اضافه شد و ترکیب به دست آمده تحت سانتریفیوژ قرار گرفت. فعالیت این آنزیم در فاز اتانولی مایع رویی که بعد از سانتریفیوژ به دست آمد اندازه‌گیری شد. یک واحد از SOD به عنوان مقداری از آنزیم که می‌تواند سبب ممانعت از احیاء NBT به میزان ۵۰- درصد شود تعریف شد. فعالیت آنزیم SOD با واحد/میلی‌گرم پروتئین بیان شد. غلظت پروتئین در بافت عصب سیاتیک هموژن شده با روشی که Coskun و همکاران (۲۴) توصیف کردند، اندازه‌گیری شد.

روش انجام مطالعات میکروسکوپ الکترونی:

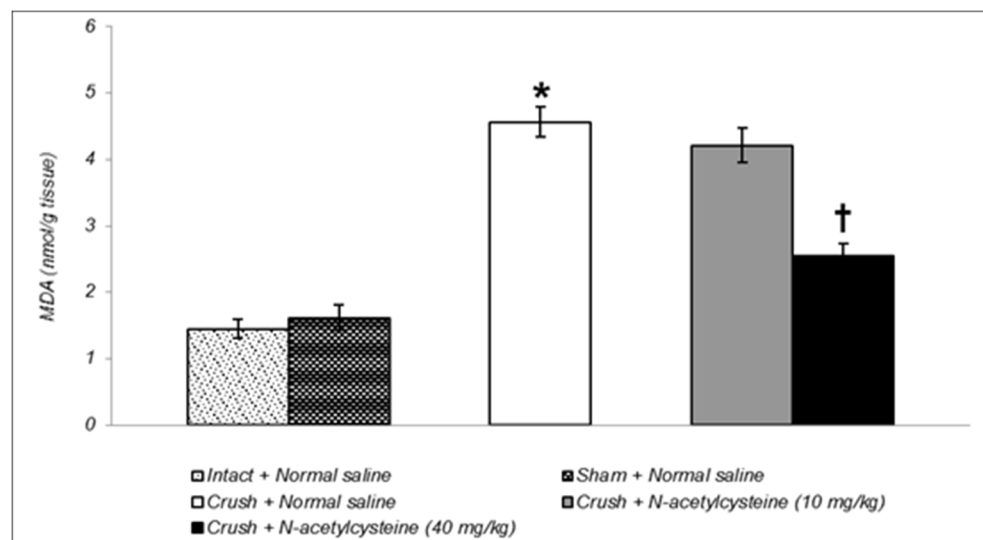
در پایان آزمایش (۲۸ روز بعد از له کردن عصب سیاتیک)، تعداد شش سر دیگر حیوانات آسان کشی شدند و ناحیه خلفی عصب سیاتیک آن‌ها برداشته شد و سپس نمونه‌های کوچک به قطر یک میلی‌متر از بافت عصب سیاتیک برش داده شدند و سپس به داخل محلول سه درصد گلوتارآلدئید با PH ۷/۴ در ۰/۱ مولار فسفات بافر انتقال یافت و به مدت یک شب در دمای چهار درجه سانتی‌گراد نگهداری و تثبیت اولیه شدند. متعاقباً جهت تثبیت بعدی از محلول یک درصد تراکسید اسミوم استفاده شد. پس از تثبیت در تراکسید اسミوم، بافت‌ها در درجات صعودی استون آبگیری شدند و سپس به‌وسیله اورانیل استات رنگ‌آمیزی شدند. جهت آغشتنگی و قالب‌گیری از محیط قالب‌گیری (TAAB, UK) Spurr Resin در ابتدا مقاطع نیمه نازک جهت تأیید و سپس مقاطع استفاده شد. در ابتدا مقاطع نیمه نازک جهت تأیید و سپس مقاطع فوق نازک ۶۰-۷۰ نانومتری تهیه شدند. مقاطع بر روی گریدهای مسی قرار گرفتند و به‌وسیله اورانیل استات و سیترات سرب رنگ‌آمیزی شدند. گریدهای مقاطع عصب سیاتیک با استفاده از Philips, CM 100 Bio Twin, The (Netherlands) در ولتاژ ۷۵ کیلوولت مورد بررسی قرار گرفته و اولتراگراف‌ها تهیه شدند.

آنالیز آماری داده‌ها:

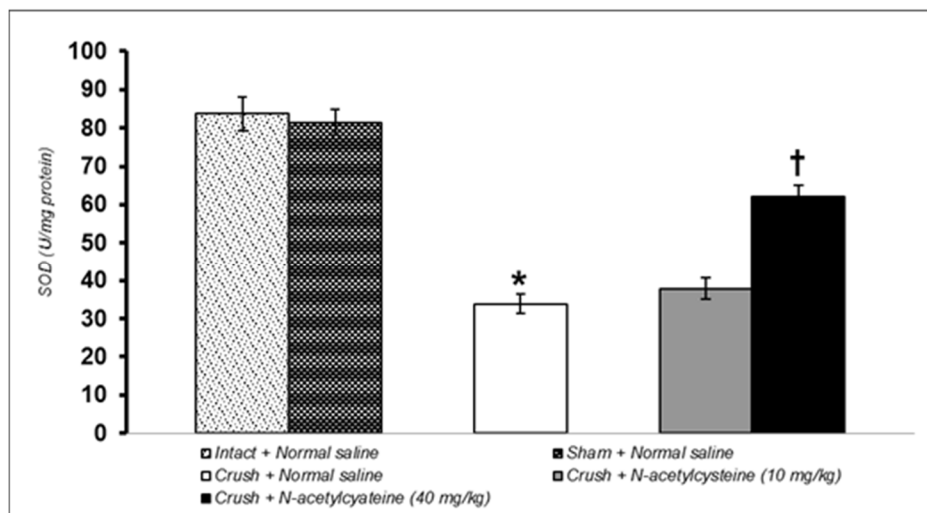
آنالیزهای آماری این مطالعه توسط برنامه Graph pad Prism نسخه ۵/۰۳ انجام شد (GraphPad software, San Diego, CA, USA). میزان اختلاف معنی دار برای SFI توسط آنالیز واریانس دوطرفه (ANOVA) و به دنبال آن توسط آزمون Tukey محاسبه شد. مقدار MDA و فعالیت SOD با ANOVA یک‌طرفه و آزمون Tukey محاسبه شد. نتایج میکروسکوپ الکترونی به صورت توصیفی (پاتولوژی توصیفی) ارزیابی شدند. اختلاف معنی دار در سطح ($P < 0.05$) تعیین شد.



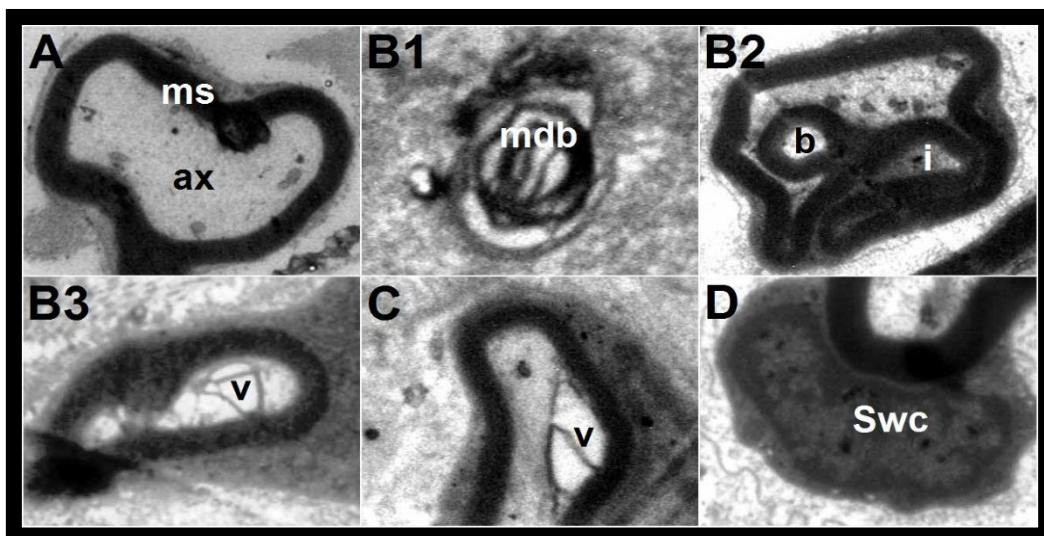
نمودار (۱): امتیازات شاخص عملکردی عصب سیاتیک در گروه‌های دستنخورده و شم و اثran- استیل سیستئین بر امتیازات شاخص عملکردی عصب سیاتیک لهشده در موش صحرایی. داده‌ها در نمودار به صورت Mean \pm SEM نشان داده شده‌اند. تعداد حیوان در هر گروه ۶ سر موش صحرایی می‌باشد. علامت * وجود اختلاف معنی‌دار در سطح $p < 0.05$ در مقایسه با گروه‌های دستنخورده (Intact + Normal saline) و (Crush + N-acetylcysteine (40 mg/kg)) را نشان می‌دهد. علامت † وجود اختلاف معنی‌دار در سطح $p < 0.05$ در مقایسه با گروه کراش (Sham + Normal saline) را نشان می‌دهد.



نمودار (۲): مقدار MDA در گروه‌های دستنخورده و شم و اثran- استیل سیستئین بر مقدار MDA بافت عصب سیاتیک لهشده موش صحرایی. داده‌ها در نمودار به صورت Mean \pm SEM نشان داده شده‌اند. تعداد حیوان در هر گروه ۶ سر موش صحرایی می‌باشد. علامت * وجود اختلاف معنی‌دار در سطح $p < 0.05$ در مقایسه با گروه‌های دستنخورده (Intact + Normal saline) و شم (Sham + Normal saline) را نشان می‌دهد. علامت † وجود اختلاف معنی‌دار در سطح $p < 0.05$ در مقایسه با گروه کراش (Crush + Normal saline) را نشان می‌دهد (MDA: Malondialdehyde).



نمودار (۳): فعالیت SOD در گروههای دستنخورده و شم و اثran-استیل سیستئین بر فعالیت SOD بافت عصب سیاتیک لهشده موش صحرایی. داده‌ها در نمودار به صورت Mean \pm SEM نشان داده شده‌اند. تعداد حیوان در هر گروه ۶ سر موش صحرایی می‌باشد. علامت * وجود اختلاف معنی‌دار در سطح $p < 0.05$ در مقایسه با گروههای دستنخورده (Intact + Normal saline) و شم (Sham + Normal saline) را نشان می‌دهد. علامت † وجود اختلاف معنی‌دار در سطح $p < 0.05$ در مقایسه با گروه کراش (Crush + Normal saline) را نشان می‌دهد (SOD: Super Oxide Dismutase).



تصویر (۱): اولترا میکروگراف‌های عصب سیاتیک سالم، لهشده و درمان شده با ان-استیل سیستئین. A: نشان‌دهنده اکسون سالم در گروه کنترل می‌باشد (ms: myelin sheet, ax: axoplasm). (Mag $\times 3100$). B1: حضور باقی‌مانده‌هایی از آکسون‌های دزنه شده در گروه کراش دیده می‌شود (mdb: myelin derbies). (Mag $\times 8800$). B2: تغییرات توهم رفتگی و پیچ‌خوردگی به داخل و تشکیل حباب در گروه کراش مشاهده می‌شود (i: Invagination and b: Bleb formation). (Mag $\times 4500$). B3: حفره‌دار شدن آکسوبلاسم در گروه کراش قابل مشاهده است (v: vacuole). (Mag $\times 3100$). C: نازک شدن غلاف میلین به همراه حفره‌دار شدن آکسوبلاسم پس از درمان با ان-استیل سیستئین در است (Mag $\times 3100$). D: آکسون میلینه شده نزدیک به نرمال پس از درمان با ان-استیل سیستئین در مقدار ۱۰ میلی‌گرم/کیلوگرم قابل مشاهده است (v: vacuole). (Mag $\times 6300$). (D): آکسون میلینه شده نزدیک به نرمال پس از درمان با ان-استیل سیستئین در مقدار ۴۰ میلی‌گرم/کیلوگرم مشاهده می‌گردد. سلول شوان فعل شده در مجاورت آکسون در حال ترمیم حضور دارد (Swc: Schwan cell). تمامی مقاطع با اورانیل استات و نیترات سرب رنگ‌آمیزی شدند.

عصب گزارش شده است (۳۴). باین حال، در رابطه با اثرات ان-استیل سیستئین، اثر بهبود دهنده‌ی آن بر مقدار MDA در بافت عصبی در مدل ایجاد آسیب مزمن با بستن لیگاتور شل به دور عصب سیاتیک نیز گزارش شده است (۳۵). همچنین، در القاء اختلال عملکردی در عصب فرنیک ناشی از انسداد سکوم (با بستن لیگاتور به دور سکوم)، ان-استیل سیستئین مقدار افزایش یافته MDA را در عصب مذکور کاهش داد و موجب بازگشت نسبی شدت پتانسیل عمل عصب شد (۳۶).

یافته‌های فوق ریزبینی مطالعه حاضر نشان دادند که پس از له کردن عصب سیاتیک تغییراتی مثل دژنه شدن میلین، توهم رفتگی و تشکیل حباب در غلاف میلین و شکل‌گیری واکوئل در داخل آکسپلاسم ایجاد شدند. در مطالعه انجام شده توسط Avsar و همکاران (۳۷) دژنراسیون میلین، باقی‌مانده‌های میلین و توهم رفتگی غلاف میلین پس از ایجاد آسیب کراش در عصب سیاتیک رت گزارش شده است. چهار تا هشت هفته پس از له کردن عصب سیاتیک موش صحرایی، تغییرات فوق ریزبینی شامل دژنراسیون میلین و انقطاع به همراه نازک شدن غلاف میلین مشاهده شده است (۳۸). Kurtoglu و همکاران (۳۹) تغییراتی مثل کاهش قطر آکسون، کاهش ضخامت میلین و دژنراسیون میلین را متعاقب له کردن عصب سیاتیک موش صحرایی گزارش کردند. در همین رابطه، له کردن عصب سیاتیک موش رفتگی کاهش ضخامت میلین و دژنراسیون آکسون شده است (۴۰). در مطالعه حاضر، ان-استیل سیستئین موجب بهبود تغییرات فوق ریزبینی ناشی از له کردن عصب سیاتیک شد. در ارتباط با اثر ان-استیل سیستئین بر تغییرات فوق ریزبینی عصب سیاتیک له شده گزارشی ارائه نشده است و درنتیجه یافته‌های مطالعه ما اولین گزارش در این رابطه می‌باشد. باین وجود در عصب صورتی قطع و آناستوموز شده خرگوش اثر سودمندان-استیل سیستئین بر باقیمانده‌های میلینی و تزاید سلول گلیال و سلول شوان گزارش شده است (۹). به دلیل اینکه استرس اکسیدانتیو نقش بسیار مهمی در تغییرات بافتی اعصاب محیطی آسیب‌دیده ایفاء می‌کند (۱۱) و با توجه به اینکه در مطالعه حاضر، ان-استیل سیستئین موجب بالانس سیستم‌های اکسیدانتیو و آنتی‌اکسیدانتی در بافت عصب سیاتیک شده است، می‌توان چنین مطرح نمود که ان-استیل سیستئین دارای اثر محافظت عصبی می‌باشد.

نتایج مطالعه حاضر یک اثر محافظت عصبی را برای ان-استیل سیستئین در عصب سیاتیک له شده نشان داد. ان-استیل سیستئین موجب تسريع بازگشت عملکردی، پیش بردن رژنراسیون عصبی و کاهش تغییرات فوق ریزبینی مربوط به دژنراسیون والرین ناشی از آسیب عصب ممکن شد. متعادل کردن سیستم‌های اکسیدانت و آنتی‌اکسیدانت عصب سیاتیک توسطان-استیل سیستئین به علت

بحث و نتیجه‌گیری

در مطالعه حاضر امتیاز SFI بعد از القاء آسیب له کردن عصب سیاتیک تا حدود ۱۰۰- (۱۰۳/۵-) در روز هفت بعد از القاء آسیب کاهش یافت و سپس به تدریج تا انتهای دوره آزمایش افزایش یافت و به حدود ۵۰- (۵۳/۵-) در روز ۲۸ رسید. در مطالعه انجام شده توسط Tamaddonfard و همکاران (۱۰) کاهش امتیاز SFI در روز هفتم تا ۸۵- و رسیدن آن به ۵۰- در روز ۲۱ پس از له کردن عصب سیاتیک گزارش شده است. تفاوت در امتیاز SFI می‌تواند با علل میزان فشار بر عصب سیاتیک و طول مدت مطالعه قابل توجیه باشد. یافته‌های مشابهی از بهبود عملکردی عصب سیاتیک له شده در مطالعات محققان دیگر نیز گزارش شده است (۱۳، ۱۶، ۲۱). یک ایزار مناسب برای ارزیابی عملکردی بهبود عصب سیاتیک در تعدادی از آسیب‌های تجربی در رت به شمار می‌آید (۲۵، ۲۶، ۲۷، ۲۸ و ۲۹). اگرچه گزارشی در مورد اثر ان-استیل سیستئین در بهبود SFI بعد از القاء آسیب له شدگی عصب سیاتیک تاکنون ارائه نشده است، Gou و همکاران (۳۰) با استفاده از روش رفتاری حرکتی سیستئین را در بهبود عملکردی اندام خلفی ناشی از آسیب نخاعی در موش کوچک سفید آزمایشگاهی را گزارش کردند. همچنین Patel و همکاران (۳۱) نتیجه مشابهی در رابطه با اثر بهبود دهنده‌ی ان-استیل سیستئین در مدل آسیب نخاعی در موش صحرایی را نیز بیان نمودند. نشان داده شده است که درمان با ان-استیل سیستئین پس از قطع عصب سیاتیک از کاهش عملکرد حسی جلوگیری می‌کند (۸).

در مطالعه حاضر، مقدار MDA و فعالیت SOD در عصب سیاتیک له شده به ترتیب افزایش و کاهش یافت. در این رابطه درمان با ان-استیل سیستئین توانست مقدار MDA و فعالیت SOD را در بافت عصب سیاتیک له شده را بهبود بخشد. MDA یک بیومارکر معمول و قابل اطمینان برای ارزیابی میزان پراکسیده شدن لیپید، یک مکانیسم کاملاً ثابت شده در آسیب سلولی، می‌باشد که به عنوان یک نشانگر استرس اکسیدانتیو در سلول و بافت مورداستفاده قرار می‌گیرد (۳۲). از سوی دیگر یکی از مهمترین آنزیمه‌های آنتی‌اکسیدانتی، SOD، تبدیل رادیکال‌های سوپر اکسید به پراکسید هیدروژن را تسريع می‌کند و بدین طریق از سلول و بافت در برابر اثرات سمی رادیکال‌های سوپر اکسید محافظت می‌نماید (۳۳). اثرات سمی رادیکال‌های سوپر اکسید MDA و کاهش فعالیت Senoglu و همکاران (۱۷) افزایش مقدار MDA و کاهش فعالیت SOD در عصب سیاتیک را بعد از القاء آسیب له شدگی در عصب سیاتیک، گزارش نموده‌اند. به علاوه، در آسیب مکانیکی ایجاد شده در اعصاب محیطی با سه مرتبه له کردن عصب سیاتیک (هر بار به مدت ۱۰ ثانیه)، افزایش مقدار MDA و کاهش فعالیت SOD در بافت

تقدیر و تشکر

این تحقیق با حمایت مالی معاونت تحصیلات تکمیلی و نیز به صورت طرح پژوهشی درون دانشگاهی با کد ۰۰۸/۵/۹۳ با حمایت مالی حوزه معاونت پژوهشی دانشگاه ارومیه به انجام رسیده است که بدین وسیله از آن معاونت‌های محترم تقدیر می‌گردد.

خاصیت آنتی‌اکسیدانتی آن که در مطالعه حاضر مشاهده شد، می‌تواند مکانیسم اثر حفاظت عصبیان-استیل سیستئین را توجیه نماید. بنابر نتایج به دست آمده از مطالعه حاضر و یافته‌های دیگر محققین می‌توان مطرح نمود که ان-استیل سیستئین در ضایعات عصب سیاتیک ناشی از تروما شاید بتواند کاربرد درمانگاهی پیدا کند.

References

1. Menorca RM, Fussell TS, Elfar JC. Nerve physiology: mechanisms of injury and recovery. *Hand Clin* 2013; 29(3): 317-30.
2. Robinson LR. Traumatic injury to peripheral nerves. *Muscle Nerve* 2000; 23(6): 863-73.
3. Abe N, Cavalli V. Current opinion in neurobiology: nerve injury signaling. *Curr Opin Neurobiol* 2008; 18(3): 276-83.
4. Hall S. The response to injury in the peripheral nervous system. *J Bone Joint Surg Br* 2005; 87: 1309-19.
5. Li R, Liu Z, Pan Y, Chen L, Zhang Z, Lu L. Peripheral nerve injuries treatment: a systemic review. *Cell Biochem Biophys* 2014; 68(3): 449-54.
6. Kelly GS. Clinical applications of N-acetylcysteine. *Alt Med Rev* 1998; 3(2): 114-27.
7. Samuni Y, Goldstein S, Dean OM, Berk M. The chemistry and biological activities of N-acetylcysteine. *Biochim Biophys Acta* 2013; 1830: 4117-29.
8. West CA, Hart AM, Terenghi G, Wiberg M. Analysis of dose-response of N-acetylcysteine in the prevention of sensory neuronal loss after peripheral nerve injury. *Acta Neurochir Suppl* 2007; 100: 29-31.
9. Karlidag T, Yildiz M, Yalcin S, Colakoglu N, Kaugusuz I, Sapmaz E. Evaluation of the effect of methylprednisolone and N-acetylcysteine on anastomotic degeneration and regeneration of the facial nerve. *Auris Nasus Larynx* 2012; 39(2): 145-50.
10. Tamaddonfard E, Farshid AA, Maroufi S, Kazemi-Shojaei S, Erfanparast A, Asri-Rezaei S, et al. Effects of safranal, a constituent of saffron, and vitamin E on nerve functions and histopathology following crush injury of sciatic nerve in rats. *Phytomedicine* 2014; 21(5): 717-23.
11. Wang H, Fang J, Hu F, Li G, Hong HE. Seawater immersion aggravates sciatic nerve injury in rats. *Exp Ther Med* 2015; 9(4): 1153-60.
12. Serarslan Y, Bal R, Altug ME, Kontas T, Keles ON, Unal D, et al. Effects of trimetazidine on crush injury of the sciatic nerve in rats: a biochemical and stereological study. *Brain Res* 2009; 1247: 11-20.
13. Kaya Y, Sarikcioglu L, Aslan M, Kencebay C, Demir N, Derin N, et al. Comparison of the beneficial effect of melatonin on recovery after cut and crush sciatic nerve injury: a combined study using functional, electrophysiological, biochemical, and electron microscopic analyses. *Childs Nerv Syst* 2013; 29(3): 389-401.
14. Farshid AA, Tamaddonfard E, Simaei N, Mansouri S, Najafi S, Asri-Rezaee S, et al. Effects of histidine and N-acetylcysteine on doxorubicin-induced cardiomyopathy in rats. *Cardiovasc Toxicol* 2014; 14(2): 153-61.
15. Licks F, Marques C, Zetler C, Martins MI, Marroni CA, Marroni NP. Antioxidant effect of N-acetylcysteine on prehepatic portal hypertensive gastropathy in rats. *Ann Hepatol* 2014; 13(3): 370-7.
16. Tamaddonfard E, Farshid AA, Ahmadian E, Hamidhoseyni A. Crocin enhanced functional

- recovery after sciatic nerve crush injury in rats. *Iran J Basic Med Sci* 2013; 16(1): 83-90.
17. Senoglu M, Nacitarhan V, Kurutas EB, Senoglu N, Altun I, Atli Y, et al. Intraperitoneal Alpha-Lipoic Acid to prevent neural damage after crush injury to the rat sciatic nerve. *J Brachial Plex Peripher Nerve Inj* 2009;4:22.
18. Morani AS, Bodhankar SL. Early co-administration of vitamin E acetate and methylcobalamine improves thermal hyperalgesia and motor nerve conduction velocity following sciatic nerve crush injury in rats. *Pharmacol Rep* 2010; 62(2): 405-9.
19. Renno WM, Al-Maghrebi M, Al-Banaw A. (-)-Epigallocatechin-3-galloate (EGCG) attenuates functional deficits and morphological alterations by diminishing apoptotic gene expression in skeletal muscle after sciatic nerve crush injury. *Naunyn Schmiedebergers Arch Pharmacol* 2012; 385(8): 807-22.
20. Ma J, Yu H, Liu J, Chen Y, Wang Q, Xiang L. Curcumin promotes nerve regeneration and functional recovery after sciatic nerve crush injury in diabetic rats. *Neurosci Lett* 2015; 610: 139-43.
21. Amniattalab A, Tamaddonfar E, Cheraghian S. Behavioral (functional index) and histopathological study of nhistidine effect on regeneration of experimental crushed sciatic nerve of rats. *Urmia Med J* 2010; 21(2): 103-11. (Persian)
22. Varija D, Kumar KP, Reddy KP, Reddy VK. Prolonged constriction of sciatic nerve affecting oxidative stress and antioxidant enzymes in rats. *Indian J Med Res* 2009; 129(5): 587-92.
23. Sayan H, Ozacmak VH, Ozen OA, Coskun O, Arsalan SO, Sezen SC, et al. Beneficial effects of melatonin on reperfusion injury in rat sciatic nerve. *J Pineal Res* 2004; 37(3): 143-8.
24. Coskun O, Oter S, Kokmaz A, Armutcu F, Kanter M. The oxidative and morphological effects of high concentration chronic toluene exposure on rat sciatic nerves. *Neurochem Res* 2005; 30(1): 33-8.
25. Feng X, Yuan W. Dexamethasone enhanced functional recovery after sciatic nerve crush injury in rats. *Biomed Res Int* 2015;2015:627923.
26. Varejão AS, Meek MF, Ferreira AJ, Patrício JA, Cabrita AM. Functional evaluation of peripheral nerve regeneration in rats: walking track analysis. *J Neurosci Methods* 2001; 108(1): 1-9.
27. Varejão AS, Melo-Pinto P, Meek MF, Filipe VM, Bulas-Cruz J. Methods for the experimental functional assessment of rat sciatic nerve regeneration. *Neurol Res* 2004; 26(2): 186-94.
28. Sarikcioglu L, Demirel BM, Utuk A. Walking track analysis: an assessment method for functional recovery after sciatic nerve injury in the rat. *Folia Morphol (Warsz)* 2009; 68(1): 1-7.
29. Demir R, Yayla M, Akpinar E, Cakir M, Calikoglu C, Ozel L, et al. Protective effects of alpha-lipoic acid on experimental sciatic nerve crush injury in rats: assessed with functional, molecular and electromicroscopic analyses. *Int J Neurosci* 2014; 124(12): 935-43.
30. Guo J, Li Y, Chen Z, He Z, Zhang B, Li Y, et al. N-acetylcysteine treatment following spinal cord trauma reduces neural tissue damage and improves locomotor function in mice. *Mol Med Rep* 2015; 12(1): 37-44.
31. Patel SP, Sullivan PG, Pandya JD, Goldstein GA, VanRooyen JL, Yonutas HM, et al. N-acetylcysteine amide preserves mitochondrial bioenergetics and improves functional recovery following spinal trauma. *Exp Neurol* 2014; 257: 95-105.
32. Terenghi G. Peripheral nerve regeneration and neurotrophic factors. *J Anat* 1999; 194(Pt 1): 1-14.
33. Landis GN, Tower J. Superoxide dismutase evolution and life span regulation. *Mech Ageing Dev* 2005; 126(3): 365-79.
34. Zhang T, Li Z, Dang J, Nan F, Li T, Yu Q. Edaravone promotes functional recovery after mechanical

- peripheral nerve injury. *Neural Regen Res* 2014; 9(18): 1709-15.
35. Naik AK, Tandan SK, Dudhgaonkar SP, Jadhav SH, Kataria M, Prakash VP, et al. Role of oxidative stress in pathophysiology of peripheral neuropathy and modulation with N-acetyl-L-cysteine in rats. *Eur J Pain* 2006; 10(7): 573-9.
36. Atis S, Nayci A, Ozge A, Comelekoglu U, Gunes S, Bagdatoglu O. N-acetylcysteine protects the rats against phrenic nerve dysfunction in sepsis. *Shock* 2006; 25(1): 30-5.
37. Avsar UZ, Avsar U, Aydin A, Yayla M, Ozturkkaragoz B, Un H, et al. L-carnitine alleviates sciatic nerve crush injury in rats: functional and electron microscopy assessment. *Neural Regen Res* 2014; 9(10): 1020-24.
38. sDias FJ, Issa JPM, Iyomasa MM, Coutinho-Netto J, Calzzani RAJ, Iyomasa DM, et al. Application of a low-level laser therapy and the purified protein from natural latex (*Hevea brasiliensis*) in the controlled crush injury of the sciatic nerve of rats: a morphological, quantitative, and ultrastructural study. *Biomed Res Int* 2013;2013:597863.
39. Kurtoglu Z1, Ozturk AH, Bagdatoglu C, Polat G, Aktekin M, Uzmansel D, et al. Effects of trapidil after crush injury in peripheral nerve. *Acta Med Okayama* 2005; 59(2): 37-44.
40. Wang CZ, Chen YJ, Wang YH, Yeh ML, Huang MH, Ho ML, et al. Low-level laser irradiation improves functional recovery and nerve regeneration in sciatic nerve crush rat injury model. *PLoS One* 2014; 9(8): e103348.

STUDY OF THE EFFECTS OF N-ACETYL CYSTEINE ON FUNCTIONAL, BIOCHEMICAL AND ULTRASTRUCTURAL EVALUATIONS OF CRUSHED SCIATIC NERVE IN THE RAT

Navideh Mirzakhani¹, Amir Abbas Farshid^{2}, Esmaeal Tamaddonfard³, Mehdi Imani⁴*

Received: 10 Feb, 2016; Accepted: 14 Apr, 2016

Abstract

Background & Aims: Oxidative stress has a prominent role on function of injured peripheral nervous system. In this study, we aimed to investigate the effects of n-acetyl cysteine on functional, biochemical factors and ultrastructural changes induced by experimental crush on sciatic nerve in the rat.

Materials & Methods: Sixty rats were divided into 5 groups, which contained 12 animals each. Left sciatic nerve was crushed using hemostatic forceps for 60 seconds. Animals received n-acetyl cysteine at doses of 10 and 40 mg/kg intraperitoneally for 15 consecutive days. Functional recovery of sciatic nerve was assessed using Sciatic Functional Index (SFI). Malondialdehyde (MDA) level and superoxide dismutase (SOD) activity of sciatic nerve tissue were measured. Ultra-thin histopathological slides were prepared for electromicroscopical evaluation.

Results: N-acetyl cysteine significantly accelerated recovery of SFI values ($p<0.05$). It also significantly improved MDA level and SOD activity of sciatic nerve tissue ($p<0.05$). Thinning, invagination and bleb formation of myelin sheath accompanied by vacuolation of axoplasm, which were observed in crushed sciatic nerve, were recovered in n-acetyl cysteine treated animals.

Conclusion: Results of the current study revealed that n-acetyl cysteine accelerated the recovery of crushed sciatic nerve. This ability of n-acetyl cysteine may be due to its antioxidant property. Besides, n-acetyl cysteine exerts its neuroprotective effect by decreasing the alterations of myelin sheath as well as axoplasm.

Keywords: N-acetyl cysteine, Sciatic nerve, Oxidative stress, Rat

Address: Division of Pathology, Department of Pathobiology, Faculty of Veterinary Medicine, Urmia University, Urmia, Iran

Tel: +98 44 32770508

E-mail: aa.farshid@urmia.ac.ir

SOURCE: URMIA MED J 2016; 27(4): 276 ISSN: 1027-3727

¹ Resident of Veterinary Pathology, Division of Pathology, Department of Pathobiology, Faculty of Veterinary Medicine, Urmia University, Urmia, Iran

² Professor, Division of Pathology, Department of Pathobiology, Faculty of Veterinary Medicine, Urmia University, Urmia, Iran (Corresponding Author)

³ Professor, Division of Physiology, Department of Basic Sciences, Faculty of Veterinary Medicine, Urmia University, Urmia, Iran

⁴ Assistant Professor, Division of Biochemistry, Department of Basic Sciences, Faculty of Veterinary Medicine, Urmia University, Urmia, Iran